

**Beispiel 1.**

(i) Der einfache Fall  $n = 1$ :

$$ax = b$$

mit Lösung  $x = \frac{b}{a}$  für  $a \neq 0$ .

(ii) Das gestaffelte lineare Gleichungssystem

$$\begin{array}{ccccccccccc}
r_{11}x_1 & + & r_{12}x_2 & + & \dots & + & r_{1n}x_n & = & c_1 & & \\
& & r_{22}x_2 & + & \dots & + & r_{2n}x_n & = & c_2 & & \\
& & & \ddots & & & \vdots & & \vdots & & \\
& & & & r_{n-1,n-1}x_{n-1} & + & r_{n-1,n}x_n & = & c_{n-1} & & \\
& & & & & & r_{nn}x_n & = & c_n & & 
\end{array} \tag{1.3}$$

lässt sich im Fall  $r_{ii} \neq 0$  für  $i = 1, \dots, n$  durch die so genannte Rückwärtssubstitution lösen:  
Lösen der letzten Gleichung ergibt:

$$x_n = \frac{c_n}{r_{nn}}.$$

Lösen der vorletzten Gleichung:

$$x_{n-1} = (c_{n-1} - r_{n-1,n}x_n) / r_{n-1,n-1}.$$

Allgemein gilt:

$$x_i = \left( c_i - \sum_{j=i+1}^n r_{ij}x_j \right) / r_{ii} \tag{1.4}$$

für  $i = n, n-1, \dots, 1$ .

**Beispiel 2.**

(i) *Das Gleichungssystem*

$$\begin{pmatrix} 1 & -3 \\ 4 & 2 \end{pmatrix} \begin{pmatrix} x_1 \\ x_2 \end{pmatrix} = \begin{pmatrix} 1 \\ 1 \end{pmatrix}$$

*besitzt die eindeutige Lösung*

$$x^* = \frac{1}{14} \begin{pmatrix} 5 \\ -3 \end{pmatrix}.$$

*Die Inverse ist*

$$\frac{1}{14} \begin{pmatrix} 2 & 3 \\ -4 & 1 \end{pmatrix}.$$

(ii) *Das Gleichungssystem*

$$\begin{pmatrix} 1 & -3 & 2 \\ 4 & 2 & 1 \\ 0 & 0 & 0 \end{pmatrix} \begin{pmatrix} x_1 \\ x_2 \\ x_3 \end{pmatrix} = \begin{pmatrix} 1 \\ 1 \\ 3 \end{pmatrix}$$

*besitzt offenbar keine Lösung.*

(iii) *Das Gleichungssystem*

$$\begin{pmatrix} 1 & -3 & 2 \\ 4 & 2 & 1 \\ 0 & 0 & 0 \end{pmatrix} \begin{pmatrix} x_1 \\ x_2 \\ x_3 \end{pmatrix} = \begin{pmatrix} 1 \\ 1 \\ 0 \end{pmatrix}$$

*besitzt unendlich viele Lösungen:*

$$\frac{1}{14} \begin{pmatrix} 5 \\ -3 \\ 0 \end{pmatrix} + \lambda \begin{pmatrix} 1 \\ -1 \\ -2 \end{pmatrix}, \lambda \in \mathbb{R}.$$

**Beispiel 3.** *(zur Kondition des Problems) Betrachte das Gleichungssystem*

$$\begin{pmatrix} 1 & 1 \\ 1 & 1 - \epsilon \end{pmatrix} x = \begin{pmatrix} 4 \\ 4 - \epsilon \end{pmatrix}.$$

*Die Lösung ist offenbar*

$$x = \begin{pmatrix} 3 \\ 1 \end{pmatrix}.$$

*Ersetzen wir die rechte Seite durch*

$$\bar{b} = \begin{pmatrix} 4 + \epsilon \\ 4 - 2\epsilon \end{pmatrix},$$

*wobei  $0 < \epsilon \ll 1$  sehr klein sein kann, so erhalten wir die Lösung*

$$\bar{x} = \begin{pmatrix} 1 + \epsilon \\ 3 \end{pmatrix}.$$

**Beispiel 4.** (zur Stabilität der Gauß-Elimination) Wir lösen das Gleichungssystem

$$\begin{pmatrix} 5 \cdot 10^{-3} & 1 \\ 1 & 1 \end{pmatrix} \begin{pmatrix} x_1 \\ x_2 \end{pmatrix} = \begin{pmatrix} 0.5 \\ 1 \end{pmatrix}$$

in zweistelliger Gleitpunktrechnung, wobei wir als Pivotelement

- a) das Element  $a_{11} = 5 \cdot 10^{-3}$  wählen. Nach einem Schritt des Gaußschen Eliminationsverfahrens erhalten wir das System

$$\begin{pmatrix} 5 \cdot 10^{-3} & 1 \\ 0 & -200 \end{pmatrix} \begin{pmatrix} x_1 \\ x_2 \end{pmatrix} = \begin{pmatrix} 0.5 \\ -99 \end{pmatrix}$$

mit Lösung

$$x = \begin{pmatrix} 0 \\ 0.5 \end{pmatrix}.$$

- b) das Element  $a_{21} = 1$  wählen. Wir erhalten nun nach Vertauschung der Zeilen und der Gauß-Elimination

$$\begin{pmatrix} 1 & 1 \\ 0 & 1 \end{pmatrix} \begin{pmatrix} x_1 \\ x_2 \end{pmatrix} = \begin{pmatrix} 1 \\ 0.5 \end{pmatrix}$$

mit Lösung

$$x = \begin{pmatrix} 0.5 \\ 0.5 \end{pmatrix}.$$

Beachte, dass für die exakte Lösung des Gleichungssystem gilt:

$$x = \begin{pmatrix} \frac{100}{199} \\ \frac{99}{199} \end{pmatrix} \approx \begin{pmatrix} 0.503 \\ 0.497 \end{pmatrix}.$$

*Erklärung: Falls  $|l_{21}|$  "groß" ist (hier  $2 \cdot 10^2$ ), gilt gemäß der Gauß-Elimination*

$$\begin{aligned} a_{22}^{(1)} &= a_{22} - l_{21}a_{12} \approx -l_{21}a_{12} \\ b_2^{(1)} &= b_2 - l_{21}b_1 \approx -l_{21}b_1 \end{aligned}$$

*und somit auch*

$$x_2 = \frac{b_2^{(1)}}{a_{22}^{(1)}} \approx \frac{b_1}{a_{12}}.$$

*Bei der Berechnung von  $x_1$  kommt es jedoch zur Stellenauslöschung*

$$x_1 = \frac{b_1 - a_{12}x_2}{a_{11}}.$$

*Der Ausweg hier ist ein Zeilentausch, d.h. die Anwendung der Spaltenpivotwahl. Wir können bei dieser Wahl  $|l_{21}| \leq 1$  bzw. allgemeiner  $|l_{ij}| \leq 1$  für alle  $i, j$  garantieren. Tatsächlich kann aber auch bei der Gauß-Elimination mit Spaltenpivotwahl die ungünstige oben beschriebene Situation auftreten.*

**Beispiel 5.** *Wichtige Beispiele im  $\mathbb{R}^n$  sind*

(i)  $\|x\|_1 = \sum_{i=1}^n |x_i|$

(ii)  $\|x\|_2 = \sqrt{\sum_{i=1}^n x_i^2}$

(iii)  $\|x\|_\infty = \max_{i=1, \dots, n} |x_i|$

**Beispiel 6.** *Wir betrachten das Gleichungssystem aus Beispiel 3 mit*

$$A = \begin{pmatrix} 1 & 1 \\ 1 & 1 - \epsilon \end{pmatrix}.$$

*Offenbar ist die Inverse gegeben durch*

$$A^{-1} = -\frac{1}{\epsilon} \begin{pmatrix} 1 - \epsilon & -1 \\ -1 & 1 \end{pmatrix}.$$

*Für die Zeilensummennorm finden wir daher  $\|A\|_\infty = 2$  bzw.  $\|A^{-1}\|_\infty = \frac{2}{\epsilon}$  und somit*

$$\text{cond}_\infty(A) = \frac{4}{\epsilon}.$$

*Für  $b = (4, 4 - \epsilon)^T$  und der Lösung  $x = (3, 1)^T$  gilt zudem*

$$\frac{\|b\|_\infty \|A^{-1}\|_\infty}{\|x\|_\infty} = \frac{8}{3\epsilon},$$

*was die schlechte Konditionierung des Gleichungssystems in Beispiel 3 erklärt.*

**Beispiel 7.** (Lubich) Betrachte das Gleichungssystem

$$\begin{pmatrix} 1 & 1 \\ 0 & 10^{-8} \end{pmatrix} \begin{pmatrix} x_1 \\ x_2 \end{pmatrix} = \begin{pmatrix} b_1 \\ b_2 \end{pmatrix}.$$

Es gilt

$$\begin{aligned} \text{cond}_\infty(A) &= \|A\|_\infty \|A^{-1}\|_\infty \\ &= 2 \cdot 10^8. \quad (\text{sehr groß}) \end{aligned}$$

Gestörtes System:

$$\begin{pmatrix} 1 + \epsilon_1 & 1 + \epsilon_2 \\ 0 & 10^{-8}(1 + \epsilon_3) \end{pmatrix} \begin{pmatrix} x_1 \\ x_2 \end{pmatrix} = \underbrace{\begin{pmatrix} (1 + \epsilon_4)b_1 \\ (1 + \epsilon_5)b_2 \end{pmatrix}}_{=: \bar{b}},$$

wobei  $0 \leq |\epsilon_i| \leq \text{eps}$  mit der Maschinengenauigkeit  $\text{eps}$ . Wir untersuchen jetzt die Abhängigkeit der einzelnen Komponenten von den  $\epsilon_i$ . Sei dazu  $x$  die Lösung des Ausgangssystems und  $\bar{x}$  die des gestörten Systems.

2.Komponente: Offenbar gilt:

$$\bar{x}_2 = \underbrace{10^8 b_2}_{=x_2} \frac{1 + \epsilon_5}{1 + \epsilon_3} = x_2 \left(1 + \frac{\epsilon_5 - \epsilon_3}{1 + \epsilon_3}\right)$$

und somit die Gleichheit

$$|x_2 - \bar{x}_2| = |x_2| \frac{|\epsilon_5 - \epsilon_3|}{|1 + \epsilon_3|}.$$

Umgeformt:

$$\frac{|x_2 - \bar{x}_2|}{|x_2|} = \frac{|\epsilon_5 - \epsilon_3|}{|1 + \epsilon_3|} \leq 2\text{eps} + \mathcal{O}(\text{eps}^2)$$

1. Komponente: Für  $\bar{x}_1$  finden wir

$$\begin{aligned}\bar{x}_1 &= [(1 + \epsilon_4)b_1 - (1 + \epsilon_2)\bar{x}_2]/(1 + \epsilon_1) \\ &= \left[ \underbrace{b_1 - x_2}_{=x_1} + \epsilon_4 b_1 - \epsilon_2 \bar{x}_2 - x_2 \frac{\epsilon_5 - \epsilon_3}{1 + \epsilon_3} \right] / (1 + \epsilon_1) \\ &= x_1 + \left[ \epsilon_4 b_1 - \epsilon_1 x_1 - \epsilon_2 \bar{x}_2 - x_2 \frac{\epsilon_5 - \epsilon_3}{1 + \epsilon_3} \right] / (1 + \epsilon_1).\end{aligned}$$

Mit  $b_1 = x_1 + x_2$  und  $\bar{x}_2 = x_2(1 + \frac{\epsilon_5 - \epsilon_3}{1 + \epsilon_3})$  erhalten wir die Darstellung

$$\frac{|x_1 - \bar{x}_1|}{|x_i|} = \frac{1}{|x_i|} \left[ (\epsilon_4 - \epsilon_1)x_1 + \left( \epsilon_4 - \epsilon_2 - \frac{\epsilon_5 - \epsilon_3}{1 + \epsilon_3}(1 + \epsilon_2) \right) x_2 \right] / (1 + \epsilon_1)$$

und somit auch die Abschätzung

$$\frac{|x_1 - \bar{x}_1|}{|x_i|} \leq \left( 2 \frac{|x_1|}{|x_i|} + 4 \frac{|x_2|}{|x_i|} \right) \text{eps} + \mathcal{O}(\text{eps}^2).$$

Insgesamt

$$\begin{aligned}\frac{|x_1 - \bar{x}_1|}{\|x\|_\infty} &\leq 6\text{eps} + \mathcal{O}(\text{eps}^2) \\ \frac{|x_2 - \bar{x}_2|}{\|x\|_\infty} &\leq 2\text{eps} + \mathcal{O}(\text{eps}^2).\end{aligned}$$

**Beispiel 8.** (Deufhard) Die Lösung des Gleichungssystems  $Ax = b$  mit einer Diagonalmatrix

$$A = \begin{pmatrix} 1 & 0 \\ 0 & \epsilon \end{pmatrix}$$

ist offensichtlich ein gut konditioniertes Problem, da die Gleichungen entkoppelt sind (zwei unabhängige skalare Gleichungen). Andererseits ist aber

$$\text{cond}_\infty(A) = \|A\|_\infty \|A^{-1}\|_\infty = \frac{1}{|\epsilon|}.$$

Die Konditionszahl gemessen in der Maximumsnorm  $\|\cdot\|_\infty$  wird daher beliebig groß für kleine  $0 < |\epsilon| \ll 1$ . Sie ist ein Maß der Sensitivität der Lösung gegenüber beliebigen Störungen, auch Störungen außerhalb der Hauptdiagonalen.

**Beispiel 9.** (Rückwärtsanalyse des Skalarprodukts)

Das Skalarprodukt  $\langle y, z \rangle$ , für  $y, z \in \mathbb{R}^n$  lässt sich rekursiv berechnen durch

$$\langle y, z \rangle = y_n z_n + \langle y^{n-1}, z^{n-1} \rangle, \quad (1.15)$$

wobei  $y^{n-1} := (y_1, \dots, y_{n-1})^T$  und  $z^{n-1} := (z_1, \dots, z_{n-1})^T$ .

Die Gleitpunktrealisierung des Skalarprodukts gemäß (1.15) berechnet für Gleitpunktzahlen  $y, z$  den Wert

$$\langle y, z \rangle_{fl} = \langle \bar{y}, z \rangle$$

für ein  $\bar{y} \in \mathbb{R}^n$  mit

$$|y - \bar{y}| \leq n \cdot \text{eps}|y| + \mathcal{O}(\text{eps}^2).$$

*Beweis durch Induktion:* Für  $n = 1$  erhalten wir

$$\langle y, z \rangle_{fl} = \hat{y} \cdot z = y \cdot z(1 + \delta),$$

wobei  $\delta$  mit  $|\delta| \leq \text{eps}$  den relativen Fehler der Multiplikation beschreibt. Setze  $\bar{y} := y(1 + \delta)$ . Dann gilt offenbar

$$\langle y, z \rangle_{fl} = \langle \bar{y}, z \rangle$$

und

$$|y - \bar{y}| = |y \cdot \delta| = |\delta||y| \leq \text{eps}|y|.$$

Sei  $n > 1$  und die Behauptung für  $n - 1$  bereits bewiesen. Für die Gleitpunktrealisierung der Rekursion (1.15) gilt:

$$\begin{aligned} \langle y, z \rangle_{fl} &= y_n \hat{z}_n \hat{+} \langle y^{n-1}, z^{n-1} \rangle_{fl} \\ &= (y_n z_n (1 + \delta) + \langle y^{n-1}, z^{n-1} \rangle_{fl}) (1 + \epsilon), \end{aligned}$$

wobei diesmal  $\delta$  und  $\epsilon$  mit  $|\epsilon|, |\delta| \leq \text{eps}$  die relativen Fehler der Multiplikation bzw. der Addition charakterisieren. Nach Induktionsvoraussetzung gilt ferner

$$\langle y^{n-1}, z^{n-1} \rangle_{fl} = \langle c, z^{n-1} \rangle$$

für ein  $c \in \mathbb{R}^{n-1}$  mit

$$|y^{n-1} - c| \leq (n - 1) \text{eps} |y^{n-1}| + \mathcal{O}(\text{eps}^2).$$

Wir setzen  $\bar{y}_n := y_n (1 + \delta) (1 + \epsilon)$  und  $\bar{y}_k := c_k (1 + \epsilon)$  für  $k = 1, \dots, n - 1$ . Damit folgt:

$$\begin{aligned} \langle y, z \rangle_{fl} &= y_n z_n (1 + \delta) (1 + \epsilon) + \langle y^{n-1}, z^{n-1} \rangle_{fl} (1 + \epsilon) \\ &= \bar{y}_n z_n + \underbrace{\langle c \cdot (1 + \epsilon), z^{n-1} \rangle}_{= \bar{y}^{n-1}} \\ &= \langle \bar{y}, z \rangle \end{aligned}$$

und

$$\begin{aligned} |y_n - \bar{y}_n| &\leq 2\text{eps}|y_n| + \text{eps}^2|y_n| \\ |y_k - \bar{y}_k| &\leq |y_k - c_k| + |c_k - \bar{y}_k| \\ &\leq (n-1)\text{eps}|y_k| + \text{eps}|\bar{y}_k| + \mathcal{O}(\text{eps}^2) \\ &\leq n \cdot \text{eps}|y_k| + \text{eps}|y_k - \bar{y}_k| + \mathcal{O}(\text{eps}^2). \end{aligned}$$

Somit gilt auch

$$(1 - \text{eps})|y_k - \bar{y}_k| \leq n \cdot \text{eps}|y_k| + \mathcal{O}(\text{eps}^2)$$

also

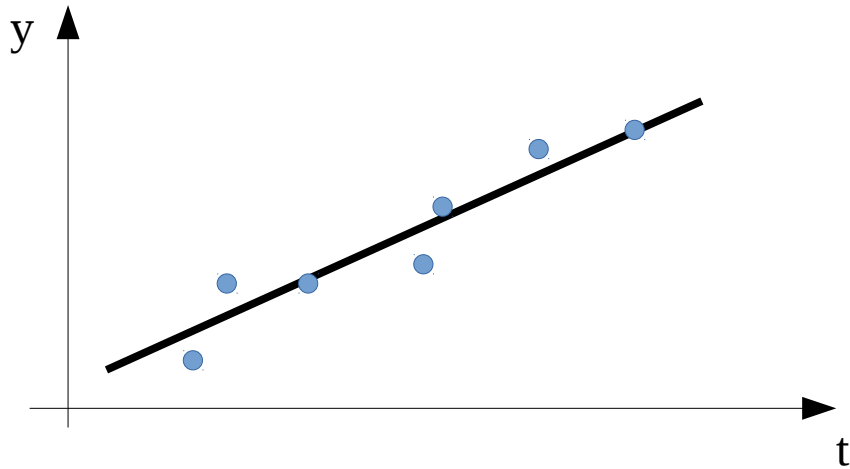
$$\begin{aligned} |y_k - \bar{y}_k| &\leq \frac{n}{1 - \text{eps}} \cdot \text{eps}|y_k| + \mathcal{O}(\text{eps}^2) \\ &= n \cdot \text{eps}|y_k| + \mathcal{O}(\text{eps}^2) \text{ für } k = 1, \dots, n-1. \end{aligned}$$

Insgesamt folgt

$$|y - \bar{y}| \leq n \cdot \text{eps}|y| + \mathcal{O}(\text{eps}^2).$$

Insbesondere ist das Skalarprodukt im Sinne der Rückwärtsanalyse stabil mit  $C = n$ .

## Beispiel 10.



geg.: Meßdaten  $(t_j, y_j)$ ,  $j = 1, \dots, m$

suchen Funktion  $y = f(t) = \sum_{i=1}^n x_i q_i(t)$

so, dass  $y_i \approx f(t_j)$  für alle  $j$

$q_1, \dots, q_n$  geg. Funktionen,  $x_1, \dots, x_n$  unbekannt

genauer:

$$\left\| \begin{pmatrix} e_1 \\ \vdots \\ e_m \end{pmatrix} \right\| = \min! \quad \text{wobei } e_j = y_j - f(t_j)$$

euklidische Norm:  $\sum_{j=1}^m e_j^2 = \min!$

Methode der kleinsten Fehlerquadrate (Gauß)

## Wiederholung: Gesamtalgorithmus mit LR-Zerlegung

- (i) Bestimme Matrizen  $P, L$  und  $R$  gemäß Satz 2  
mit  $PA = LR$  (Dreieckszerlegung)
- (ii) Löse  $Lc = Pb$  (Vorwärtssubstitution, vgl. Ü)
- (iii) Löse  $Rx = c$  (Rückwärtssubstitution)

## Gesamtalgorithmus mit Cholesky-Verfahren

- (i) Bestimme mit dem Cholesky-Verfahren  $\bar{L}$   
mit  $A = \bar{L} \cdot \bar{L}^T$  (Cholesky-Zerlegung)
- (ii) Löse  $\bar{L}c = b$  (Vorwärtssubstitution)
- (iii) Löse  $\bar{L}^T x = c$  (Rückwärtssubstitution)

## Gesamtalgorithmus mit QR-Zerlegung

- (i) Bestimme Matrizen  $Q$  und  $R$  mittels Householder-Transformationen  
mit  $A = QR$  (QR-Zerlegung)
- (ii) Löse  $Qc = b$  ( $Q^{-1} = Q^T$ , also  $c = Q^T b$ )
- (iii) Löse  $Rx = c$  (Rückwärtssubstitution)

## Gesamtalgorithmus lineares Ausgleichsproblem

- (i) Bestimme Matrizen  $Q$  und  $R$  mittels Householder-Transformationen  
mit  $A = QR$  (QR-Zerlegung)
- (ii) Berechne  $Q^T b = \begin{pmatrix} c \\ d \end{pmatrix}$
- (iii) Löse  $\tilde{R}x = c$  (Rückwärtssubstitution)

**Beispiel 11.** *keine Lösung:*  $f(x) = e^x$   
*mehrere Lösungen:*  $f(x) = x^2 - a$   
*unendlich viele Lösungen:*  $f(x) = x \sin \frac{1}{x}$

**Beispiel 12.** *Tatsächlich wird die Quadratwurzel einer positiven reellen Zahl  $a$  als Nullstelle der Nichtlinearen Gleichung*

$$x^2 - a = 0$$

*interpretiert und durch ein Iterationsverfahren näherungsweise bestimmt. Auch das Lösen einer allgemeinen quadratischen Gleichung*

$$x^2 + px + q = 0$$

*mit analytischer Lösung*

$$x_{1,2} = -\frac{p}{2} \pm \frac{1}{2}\sqrt{p^2 - 4q}$$

*lässt sich numerisch nur bei Kenntnis der entsprechenden Quadratwurzel durchführen.*

**Beispiel 13.** Die Nullstellengleichung  $x^2 - 3 = 0$  besitzt genau dieselben Lösungen wie die Fixpunktgleichungen

$$x = F_1(x) := x - \frac{x^2 - 3}{2x}$$

$$x = F_2(x) := x - \frac{x^2 - 3}{4}.$$

Berechnung der Iterierten in double precision liefert:

$F_1$		$F_2$	
$x_0$	= 2	$x_0$	= 2
$x_1$	= <u>1.75</u>	$x_1$	= <u>1.75</u>
$x_2$	= <u>1.7321</u>	$x_2$	= <u>1.734</u>
$x_3$	= <u>1.73205081</u>	$x_3$	= <u>1.7324</u>
$x_4$	= <u>1.732050807568877</u>	$x_4$	= <u>1.732092</u>
$x_5$	= <u>1.732050807568877</u>	$x_5$	= <u>1.732056</u>

**Beispiel 14.** Die Nullstellengleichung  $2x - \tan x = 0$ ,  $x \in ] -\frac{\pi}{2}, \frac{\pi}{2}[$ , besitzt genau dieselben Lösungen wie die Fixpunktgleichungen

$$x = F_1(x) := \frac{1}{2} \tan x$$

$$x = F_2(x) := \arctan(2x).$$

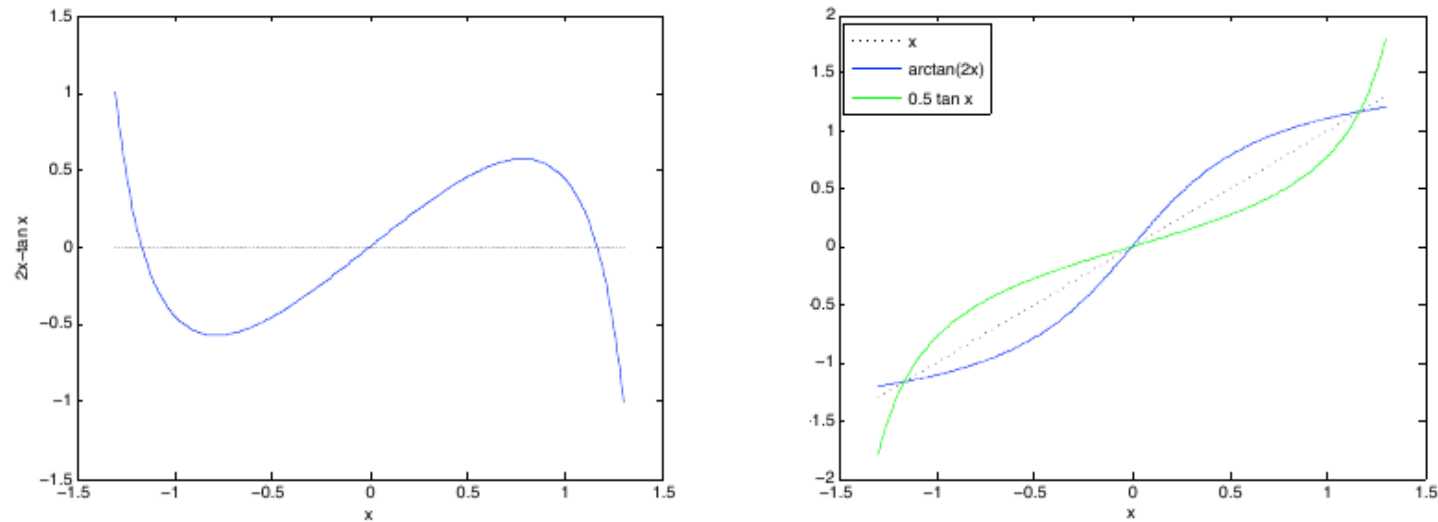


Abbildung 2.1: Links ist der Graph der Funktion  $2x - \tan x$  dargestellt, rechts die Graphen von  $F_i$ .

Berechnung der Iterierten in double precision liefert:

$F_1$	$F_1$	$F_2$
$x_0 = 1$	$x_0 = 1.2$	$x_0 = 1.2$
$x_1 = \underline{0.78}$	$x_1 = 1.286$	$x_1 = \underline{1.176}$
$x_2 = \underline{0.49}$	$x_2 = 1.708 > \pi/2$	$x_2 = \underline{1.1688}$
$x_3 = \underline{0.27}$		$x_3 = \underline{1.1666}$
$x_4 = \underline{0.14}$		$x_4 = \underline{1.1659}$
$x_5 = \underline{0.069}$		$x_5 = \underline{1.16566}$
$x_6 = \underline{0.035}$		$x_6 = \underline{1.165591}$
$x_7 = \underline{0.017}$		$x_7 = \underline{1.165571}$
$\vdots$		$\vdots$
$x_{27} = \underline{0.000000166}$		$x_{27} = \underline{1.165561185207212}$
$x_{28} = \underline{0.0000000083}$		$x_{28} = \underline{1.165561185207212}$

Zu Bemerkung 12.

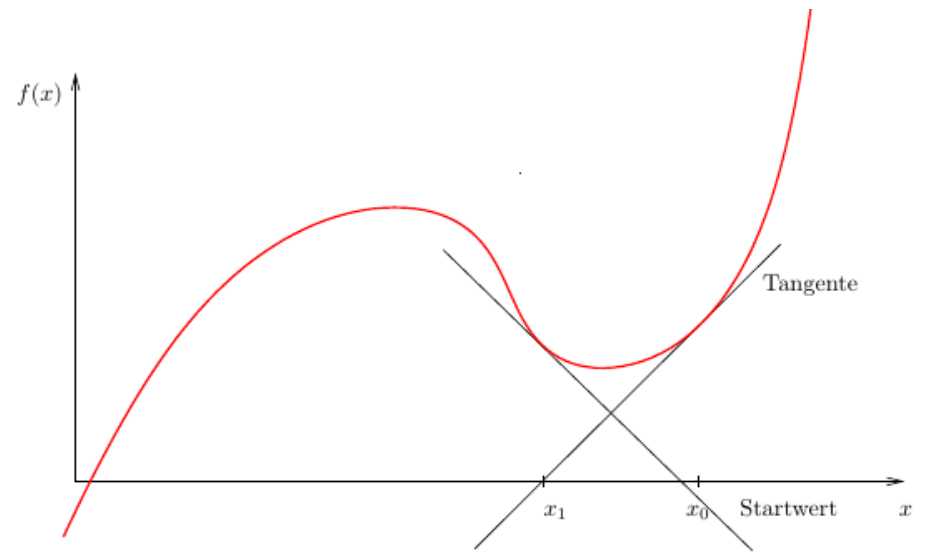
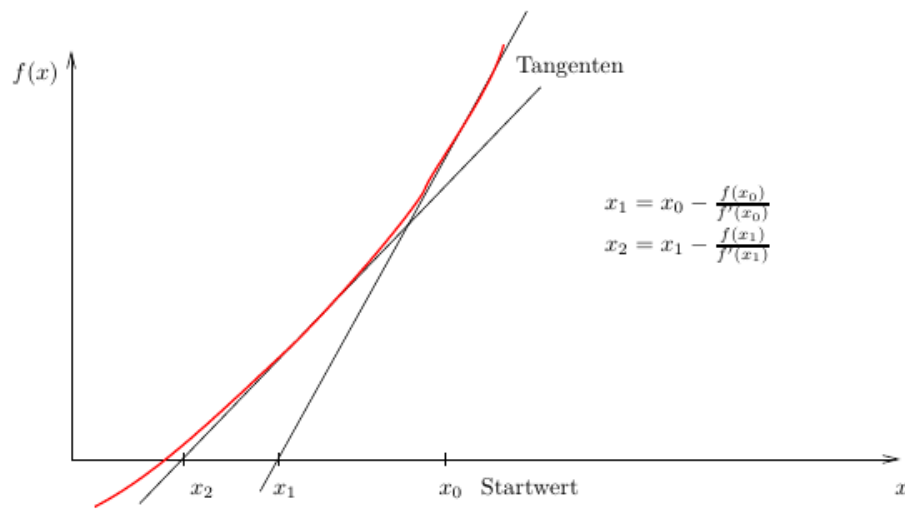


Abbildung 2.2: Links konvergiert das Newton-Verfahren, rechts lässt sich keine Konvergenz beobachten

**Beispiel 15.** Auf dem Intervall  $[-1, 1]$  wählen wir

a) äquidistante Stützstellen  $x_i = -1 + \frac{2i}{n}$

b) Tschebyscheff-Stützstellen  $x_i = \cos(\frac{2i+1}{2n+2}\pi)$

$n$	a) $\Lambda_n$	b) $\Lambda_n$
5	$\approx 3.10$	$\approx 2.1$
10	$\approx 29.9$	$\approx 2.5$
15	$\approx 512$	$\approx 2.7$
20	$\approx 10987$	$\approx 2.9$

*Vorsicht bei Interpolationspolynomen hohen Grades!*

**Beispiel 16.**

$$T_2(x) = 2x^2 - 1$$

$$T_3(x) = 2^2x^3 - 3x$$

$$T_4(x) = 2^3x^4 - 8x^2 + 1$$

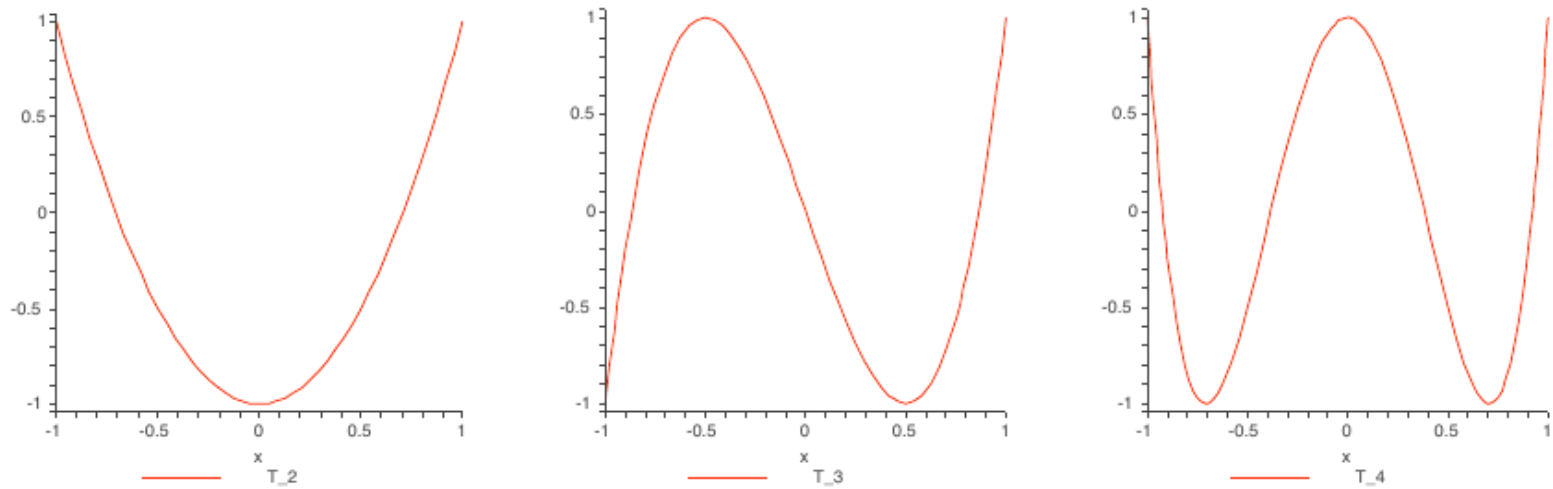


Abbildung 3.1: Tschebyscheff-Polynome  $T_2, T_3$  und  $T_4$ .

**Beispiel 17.** (einer instabilen Rekursion)

Gegeben sei die Rekursion  $x_{n+1} = 10x_n - 9$  mit Startwert

a)  $x_1 = 1$ . Dann gilt  $x_n = 1$  für alle  $n$ .

b)  $\tilde{x}_1 = 1 + \epsilon$ . Dann gilt  $\tilde{x}_n = 1 + 10^{n-1}\epsilon$  für alle  $n$ .

**Satz 23.** (Clenshaw-Algorithmus) Sei  $p(x)$  ein Polynom mit

$$p(x) = c_0 + c_1 T_1(x) + \dots + c_n T_n(x).$$

Sei weiter  $d_{n+2} = d_{n+1} = 0$  und

$$d_k = c_k + 2x \cdot d_{k+1} - d_{k+2} \text{ für } k = n, n-1, \dots, 1.$$

Dann gilt:

$$p(x) = c_0 + x d_1 - d_2.$$

**Satz 24.** (über die Stabilität des Clenshaw-Algorithmus) Sei  $p(x)$  wie in Satz 23 und  $\tilde{d}_k$  durch folgende Rekursion berechnet:

$$0 = \tilde{d}_{n+2} = \tilde{d}_{n+1}$$

$$\tilde{d}_k = c_k + 2x \cdot \tilde{d}_{k+1} - \tilde{d}_{k+2} + \epsilon_k$$

für  $k = n, n-1, \dots, 1$ , wobei  $\epsilon_k$  zum Beispiel Rundungsfehler im  $k$ -ten Schritt sind. Dann gilt:

$$|\underbrace{c_0 + x \tilde{d}_1 - \tilde{d}_2}_{=: \tilde{p}(x)} - p(x)| \leq \sum_{i=0}^n |\epsilon_i|$$

für  $|x| \leq 1$ .

**Beispiel 18.** Berechnung von  $\log(x)$  für  $0 < x_{\min} \leq x \leq x_{\max}$ , wobei  $x_{\min}$  und  $x_{\max}$  die kleinste bzw. die größte darstellbare Zahl im Rechner sind.

Gleitpunktdarstellung (mit  $d = 2$ ):

$$x = a \cdot 2^{N+1}$$

mit  $a = \sum_{i=1}^l a_i 2^{-i}$  und  $a_i \in \{0, 1\}$ ,  $a_1 = 1$ . Also existiert ein  $t \in [0, 1)$  mit

$$x = (1 + t) \cdot 2^N.$$

Mit dem Additionstheorem des Logarithmus erhalten wir

$$\log x = \log(1 + t) + N \log 2.$$

Wir Approximieren  $\log(1 + t)$  auf  $[0, 1]$  bzw.  $\log\left(1 + \frac{1+s}{2}\right)$  auf dem Intervall  $[-1, 1]$  durch Tschebyscheff-Interpolation. Für den Approximationsfehler gilt nach Satz 19

$$\left| \log\left(1 + \frac{1+x}{2}\right) - p(x) \right| \leq \frac{|w_{n+1}(x)|}{(n+1)!} \left| \left( \log\left(1 + \frac{1+\xi}{2}\right) \right)^{(n+1)} \right|.$$

Beachte:

$$\left( \log\left(1 + \frac{1+x}{2}\right) \right)' = \frac{1}{1 + \frac{1+x}{2}} \cdot \frac{1}{2},$$

also auch

$$\begin{aligned} \left( \log\left(1 + \frac{1+x}{2}\right) \right)^{(n+1)} &= \left( \frac{1}{1 + \frac{1+x}{2}} \right)^{(n)} \frac{1}{2} \\ &= \left( \frac{1}{2} \right)^{n+1} \frac{(-1)^n n!}{\left(1 + \frac{1+x}{2}\right)^{n+1}}. \end{aligned}$$

*Somit gilt für den Interpolationsfehler die Abschätzung*

$$\begin{aligned} \left| \log \left( 1 + \frac{1+x}{2} \right) - p(x) \right| &\leq \frac{1}{2^n(n+1)!} \frac{n!}{2^{n+1} \left| 1 + \frac{1+x}{2} \right|^{n+1}} \\ &\leq \frac{1}{2(n+1)4^n}. \end{aligned}$$

*Zum Beispiel gilt für  $n = 16$*

$$\left| \log \left( 1 + \frac{1+x}{2} \right) - p(x) \right| \leq 10^{-11}.$$

**Beispiel 19.**

(i) *Rechteckregel: Wir approximieren  $I(f)$  durch das Rechteck*

$$I(f) \approx (b - a)f(a).$$

(ii) *Mittelpunktregel: Wir werten die Funktion im Unterschied zu (i) im Mittelpunkt  $\frac{a+b}{2}$  aus:*

$$I(f) \approx (b - a)f\left(\frac{a + b}{2}\right).$$

(iii) *Trapezregel: Bei der Rechteck- und der Mittelpunktregel haben wir die Funktion  $f$  durch eine konstante Funktion approximiert. Bei der Trapezregel wählen wir die lineare Funktion, welche durch die Punkte  $(a, f(a))$  und  $(b, f(b))$  verläuft:*

$$I(f) \approx (b - a)\frac{f(a) + f(b)}{2}.$$

(iv) *Simpsonregel: Wir legen eine Parabel durch die drei Punkte  $(a, f(a))$ ,  $(\frac{a+b}{2}, f(\frac{a+b}{2}))$  und  $(b, f(b))$  und berechnen die Fläche unter der Parabel:*

$$I(f) \approx \frac{b - a}{6}\left(f(a) + 4f\left(\frac{a + b}{2}\right) + f(b)\right).$$

**Beispiel 20.** *Die Ordnungen der im Beispiel 19 angegebenen Quadraturformeln sind*

Rechteckregel:  $p = 1 \quad (s = 1)$

Mittelpunktregel:  $p = 2 ! \quad (s = 1)$

Trapezregel:  $p = 2 \quad (s = 2)$

Simpsonregel:  $p = 4 ! \quad (s = 3) \quad (q = 5 : \frac{5}{24} \neq \frac{1}{5})$

**Beispiel 21.** Bezeichne  $P_i$  das Legendre-Polynom vom Grad  $i$ .

$s=1$ : Es gilt  $P_1(x) = x$  und somit  $\gamma_1 = 0$ . Wir erhalten also gemäß Satz 29  $c_1 = \frac{1}{2}$  und  $b_1 = 1$ . Dies ist genau die oben bereits eingeführte Mittelpunktregel mit Ordnung  $p = 2$ .

$s=2$ : Es gilt  $P_2(x) = \frac{3}{2}x^2 - \frac{1}{2}$  und somit  $\gamma_{1,2} = \pm \frac{\sqrt{3}}{3}$ . Wir erhalten wieder mit Satz 29 die Parameter

$$\begin{aligned}c_1 &= \frac{1}{2} - \frac{\sqrt{3}}{6} \\c_2 &= \frac{1}{2} + \frac{\sqrt{3}}{6} \\b_1 = b_2 &= \frac{1}{2}\end{aligned}$$

und somit die Quadraturformel

$$\int_0^1 f(x)dx \approx \frac{1}{2}f\left(\frac{1}{2} - \frac{\sqrt{3}}{6}\right) + \frac{1}{2}f\left(\frac{1}{2} + \frac{\sqrt{3}}{6}\right)$$

der Ordnung 4.

$s=3$ : Es gilt  $P_3(x) = \frac{5}{2}x^3 - \frac{3}{2}x$  und somit  $\gamma_2 = 0, \gamma_{1,3} = \pm \frac{\sqrt{15}}{5}$ . Für die Knoten finden wir gemäß Satz 29

$$\begin{aligned}c_1 &= \frac{1}{2} - \frac{\sqrt{15}}{10} \\c_2 &= 0 \\c_3 &= \frac{1}{2} + \frac{\sqrt{15}}{10}.\end{aligned}$$

Wegen der Symmetrie gilt  $b_1 = b_3$ . Weiter gilt aufgrund Bedingung (4.2) für  $q = 1$

$$2b_1 + b_2 = 1$$

und gemäß Satz 26 auch

$$\begin{aligned} b_2 &= \int_0^1 l_2(x) dx = \int_0^1 \frac{(x - \frac{1}{2} + \frac{\sqrt{15}}{10})(x - \frac{1}{2} - \frac{\sqrt{15}}{10})}{-\frac{\sqrt{15}}{10} \frac{\sqrt{15}}{10}} dx \\ &= - \int_0^1 \frac{100}{15} \left( (x - \frac{1}{2})^2 - \frac{15}{100} \right) dx \\ &= - \frac{100}{15} \underbrace{\int_0^1 (x - \frac{1}{2})^2 dx}_{= \frac{1}{12}} + 1 = \frac{8}{18}. \end{aligned}$$

Für die Gewichte erhalten wir also insgesamt:

$$\begin{aligned} b_1 &= b_3 = \frac{5}{18} \\ b_2 &= \frac{4}{9}. \end{aligned}$$

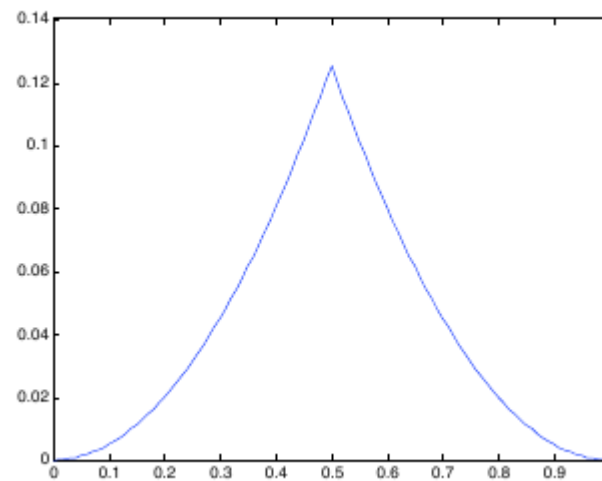
Die Gaußsche Quadraturformel der Ordnung 6 lautet also

$$\int_0^1 f(x) dx \approx \frac{5}{18} f\left(\frac{1}{2} - \frac{\sqrt{15}}{10}\right) + \frac{4}{9} f\left(\frac{1}{2}\right) + \frac{5}{18} f\left(\frac{1}{2} + \frac{\sqrt{15}}{10}\right).$$

**Beispiel 22.**

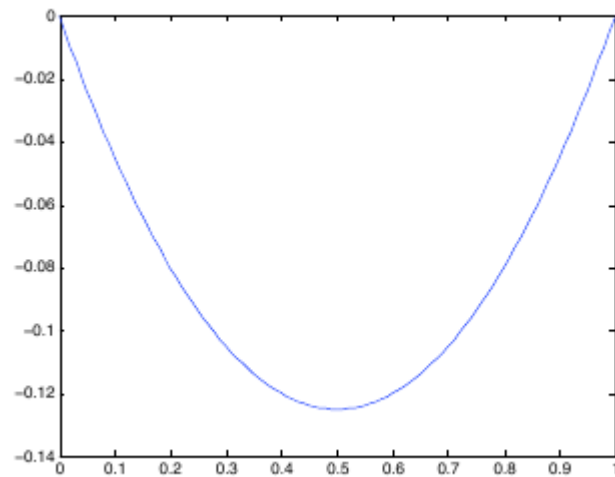
(i) *Mittelpunktregel (Ordnung 2,  $c_1 = \frac{1}{2}$ ,  $b_1 = 1$ )*

$$K_2(t) = \frac{(1-t)^2}{2} - \left(\frac{1}{2} - t\right)_+ = \begin{cases} \frac{t^2}{2}, & \text{falls } 0 \leq t \leq \frac{1}{2} \\ \frac{(1-t)^2}{2}, & \text{falls } \frac{1}{2} < t \leq 1 \end{cases}$$



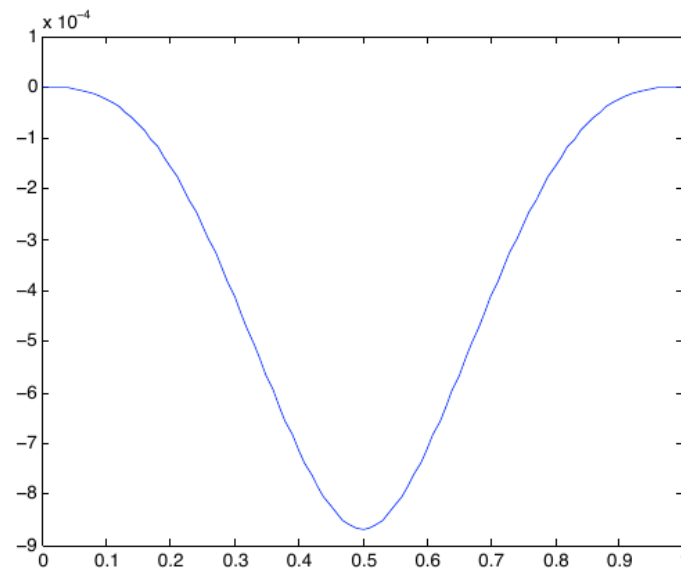
(ii) Trapezregel (Ordnung 2,  $c_1 = 0, c_2 = 1, b_1 = b_2 = \frac{1}{2}$ )

$$K_2(t) = -(1-t)\frac{t}{2}$$



(iii) Simpson-Regel (Ordnung 4,  $c_1 = 0, c_2 = \frac{1}{2}, c_3 = 1, b_1 = b_3 = \frac{1}{6}, b_2 = \frac{2}{3}$ )

$$K_4(t) = \begin{cases} \frac{t^4}{24} - \frac{t^3}{36}, & \text{falls } 0 \leq t \leq \frac{1}{2} \\ \frac{t^4}{24} - \frac{5}{36}t^3 + \frac{t^2}{6} - \frac{t}{12} + \frac{1}{72}, & \text{falls } \frac{1}{2} < t \leq 1 \end{cases}$$



**Beispiel 23.**

(i) *Mittelpunktregel:*

$$\int_0^1 K_2(t) dt = \frac{1}{24}$$

(ii) *Trapezregel:*

$$\int_0^1 K_2(t) dt = -\frac{1}{12}$$

(iii) *Simpson-Regel:*

$$\int_0^1 K_4(t) dt = -\frac{1}{2880}$$

**Beispiel 24.** Berechnung von  $\int_0^1 e^x + 1 dx = e \approx 2.718281828459046$  durch Romberg-Integration. Wir wählen die Romberg-Folge  $h_1 = b - a, h_i = \frac{h_{i-1}}{2}$  und erhalten das folgende Extrapolationstableau:

$$\begin{array}{rccccccc}
 T(h_1) = T_{11} & \approx & \underline{2.86} & & & & & \\
 & & & \searrow & & & & \\
 T(h_2) = T_{21} & \approx & \underline{2.754} & \rightarrow & T_{22} & \approx & \underline{2.7189} & \\
 & & & \searrow & & & \searrow & \\
 T(h_3) = T_{31} & \approx & \underline{2.727} & \rightarrow & T_{32} & \approx & \underline{2.7183} & \rightarrow & T_{33} & \approx & \underline{2.7182827}
 \end{array}$$

Für die Approximationsfehler gilt

$$\begin{array}{rccccccc}
 \varepsilon_{11} & \approx & 0.14086 & & & & & \\
 & & & \searrow & & & & \\
 \varepsilon_{21} & \approx & 0.03565 & \rightarrow & \varepsilon_{22} & \approx & 0.000579 & \\
 & & & \searrow & & & \searrow & \\
 \varepsilon_{31} & \approx & 0.00894 & \rightarrow & \varepsilon_{32} & \approx & 0.000037 & \rightarrow & \varepsilon_{33} & \approx & 8.599 \cdot 10^{-7}
 \end{array}$$

Die Approximationsfehler der ersten Spalte verbessern sich von Zeile zu Zeile ungefähr mit dem Faktor  $\frac{1}{4}$ . Dies ist in der Ordnung  $p = 2$  und der Halbierung von  $h_i$  in der Romberg-Folge begründet.

**Beispiel 25.** Für die Approximationsfehler der Romberg-Integration angewendet auf  $\int_0^{\frac{5}{4}\pi} e^{-x} \sin x \, dx = \frac{1}{2} + e^{-\frac{5}{4}\pi} \sin \frac{\pi}{4}$  mit der Romberg-Folge  $h_1 = b - a, h_i = \frac{h_{i-1}}{2}$  gilt

$$\begin{array}{ccccccc}
 \varepsilon_{11} \approx 0.54 & & & & & & \\
 & \searrow & & & & & \\
 \varepsilon_{21} \approx 0.273 & \rightarrow & \varepsilon_{22} \approx 0.1835 & & & & \\
 & \searrow & & \searrow & & & \\
 \varepsilon_{31} \approx 0.0776 & \rightarrow & \varepsilon_{32} \approx 0.0124 & \rightarrow & \varepsilon_{33} \approx 0.00100 & & \\
 & \searrow & & \searrow & & \searrow & \\
 \varepsilon_{41} \approx 0.0199 & \rightarrow & \varepsilon_{42} \approx 0.000698 & \rightarrow & \varepsilon_{43} \approx 0.000083 & \rightarrow & \varepsilon_{44} \approx 0.0001
 \end{array}$$

Der "große" Fehler in  $T_{11}$  bewirkt hier, dass die Näherung  $T_{43}$  besser ist als die Näherung  $T_{44}$ .

**Beispiel 26.** *Das klassische Runge–Kutta Verfahren der Ordnung  $p = 4$  lautet*

$$\begin{array}{c|cccc} 0 & & & & \\ \frac{1}{2} & \frac{1}{2} & & & \\ \frac{1}{2} & 0 & \frac{1}{2} & & \\ 1 & 0 & 0 & 1 & \\ \hline & \frac{1}{6} & \frac{1}{3} & \frac{1}{3} & \frac{1}{6} \end{array}$$